

1 / 23

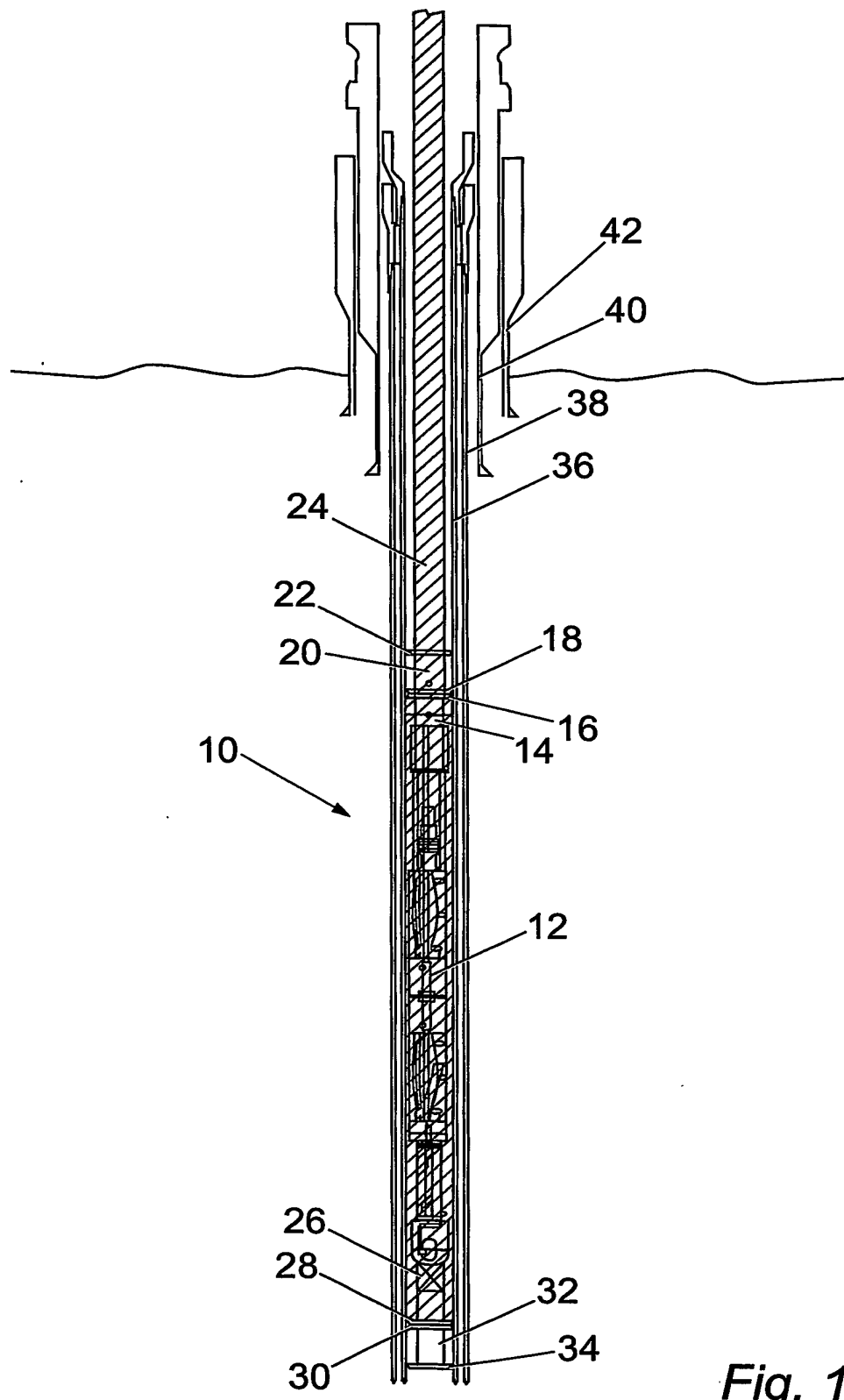


Fig. 1

2 / 23

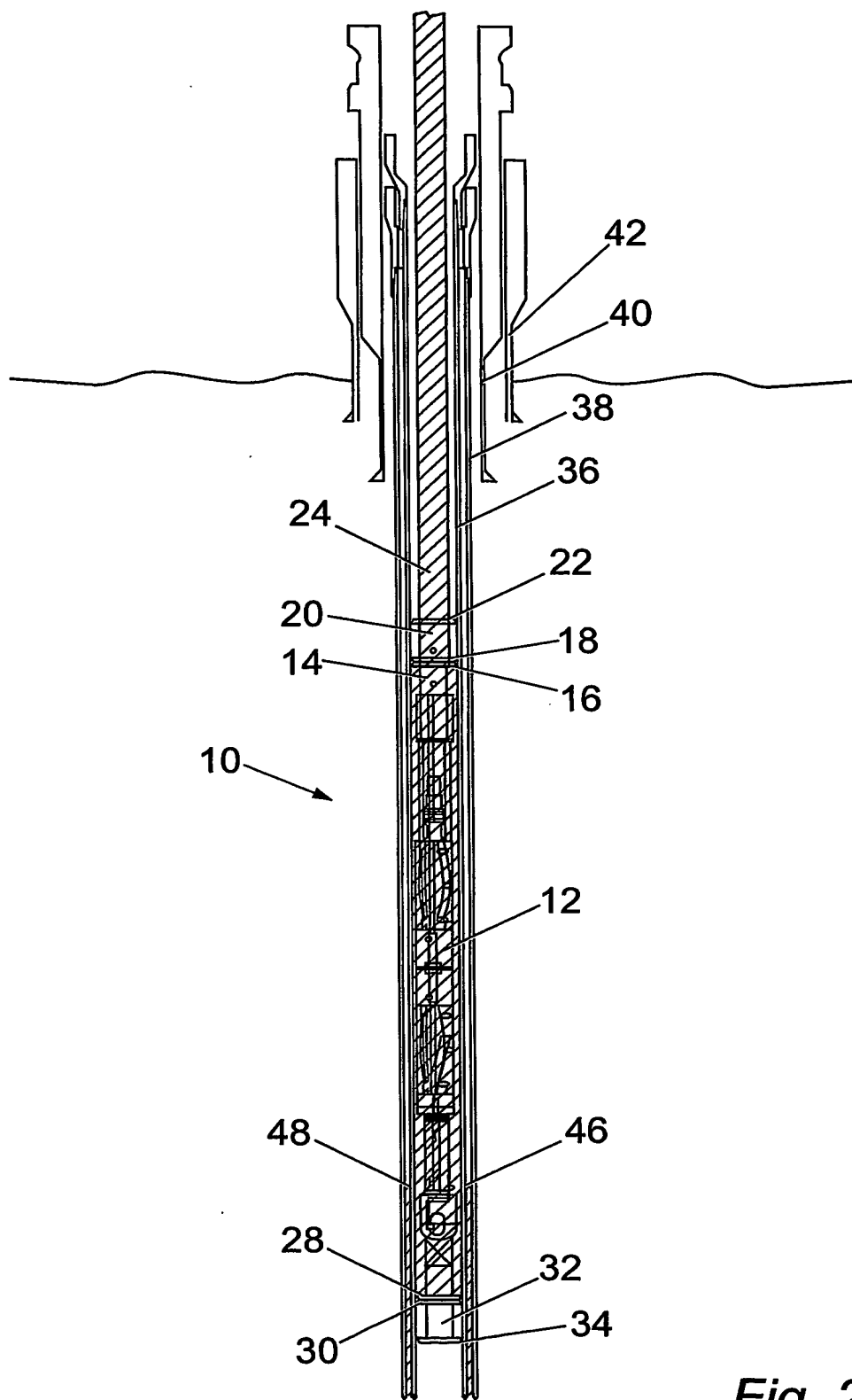


Fig. 2

3 / 23

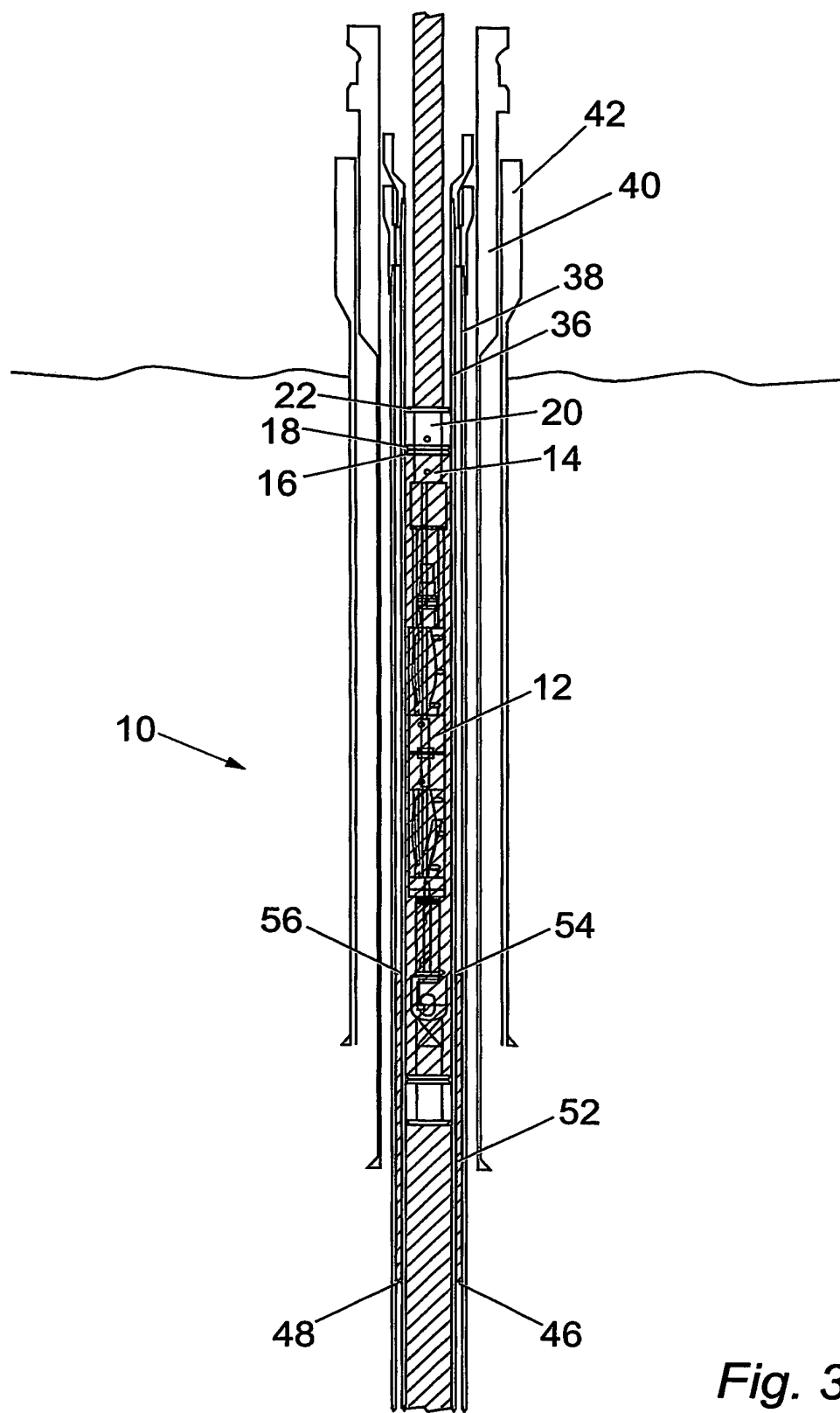


Fig. 3

4 / 23

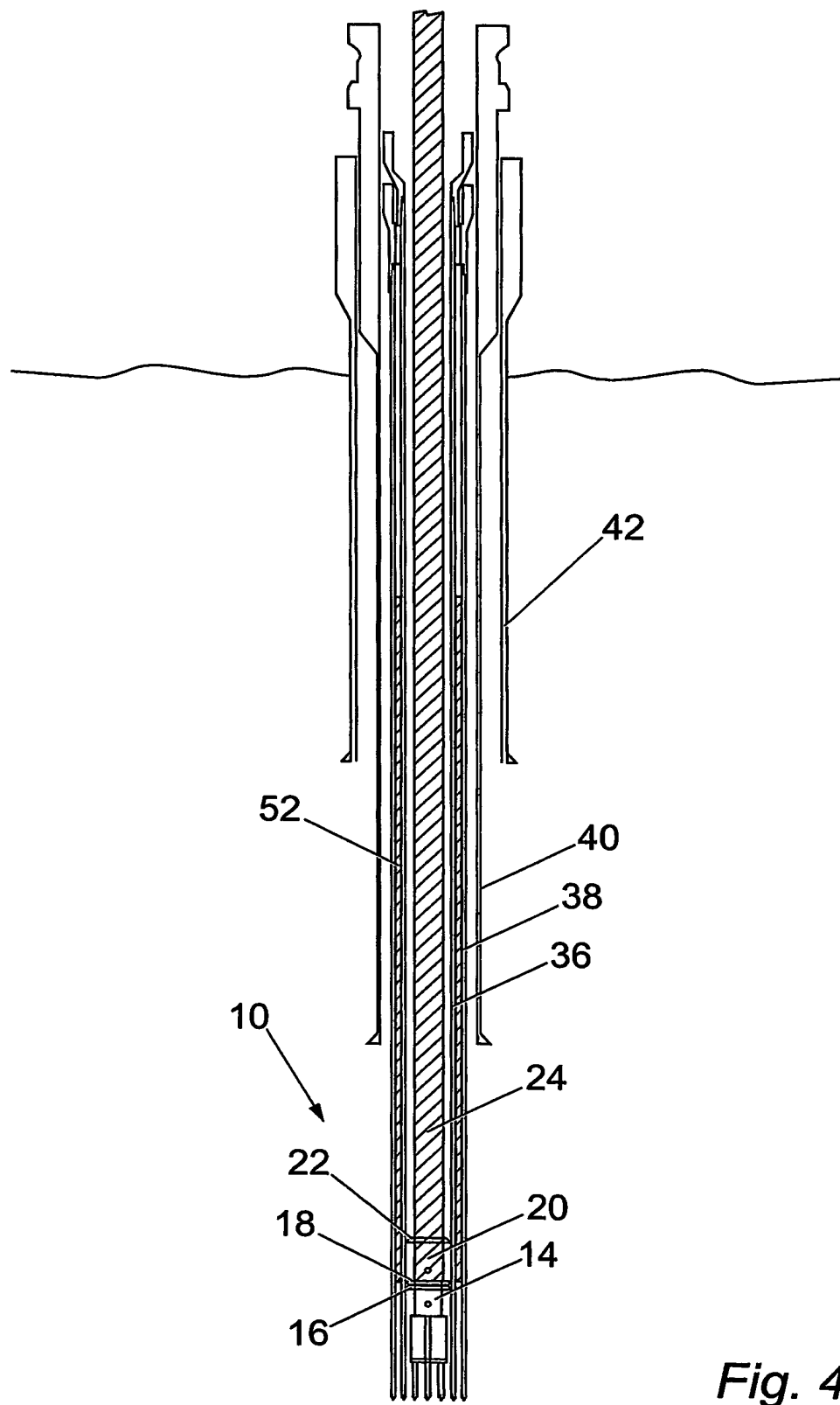


Fig. 4

5 / 23

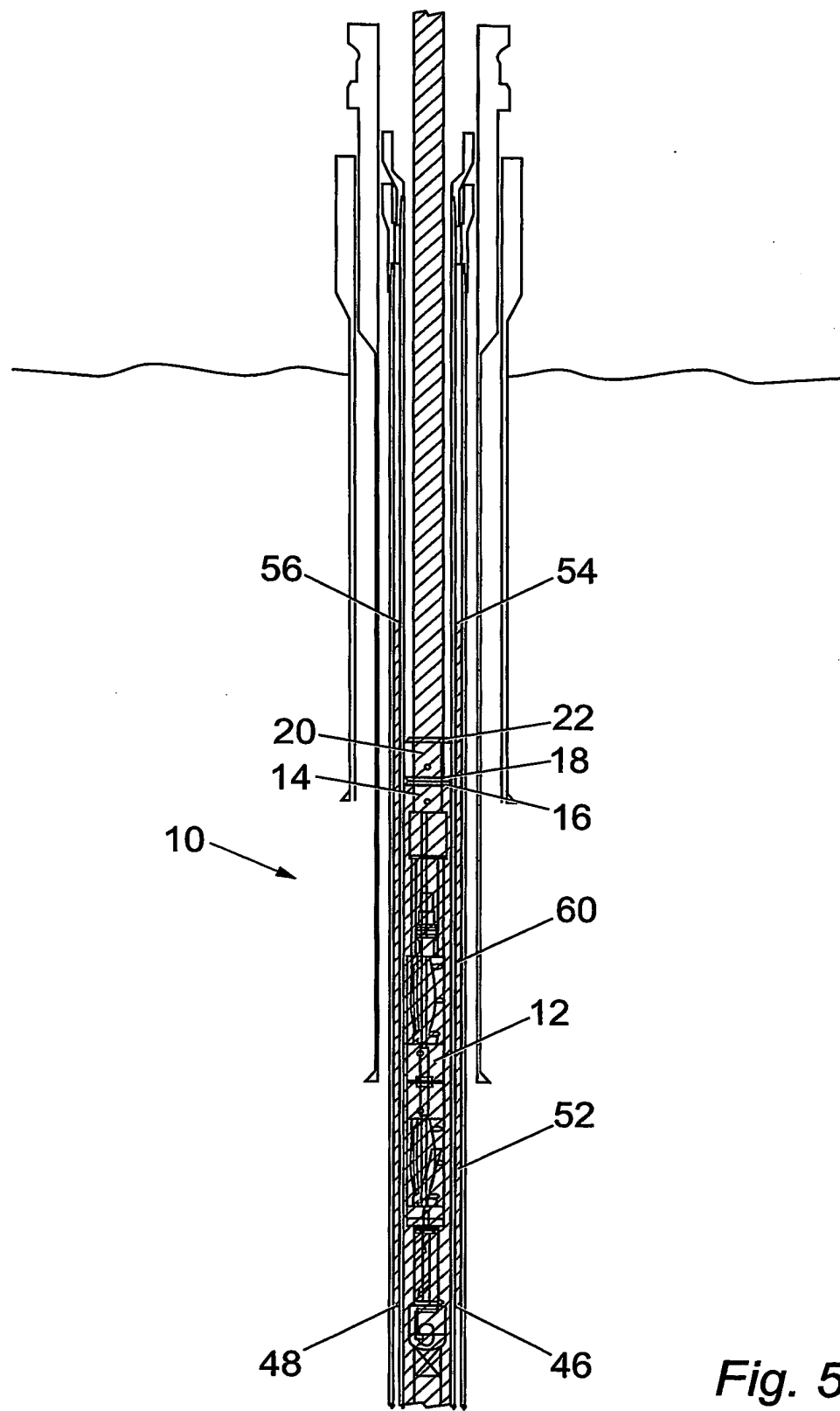


Fig. 5

6 / 23

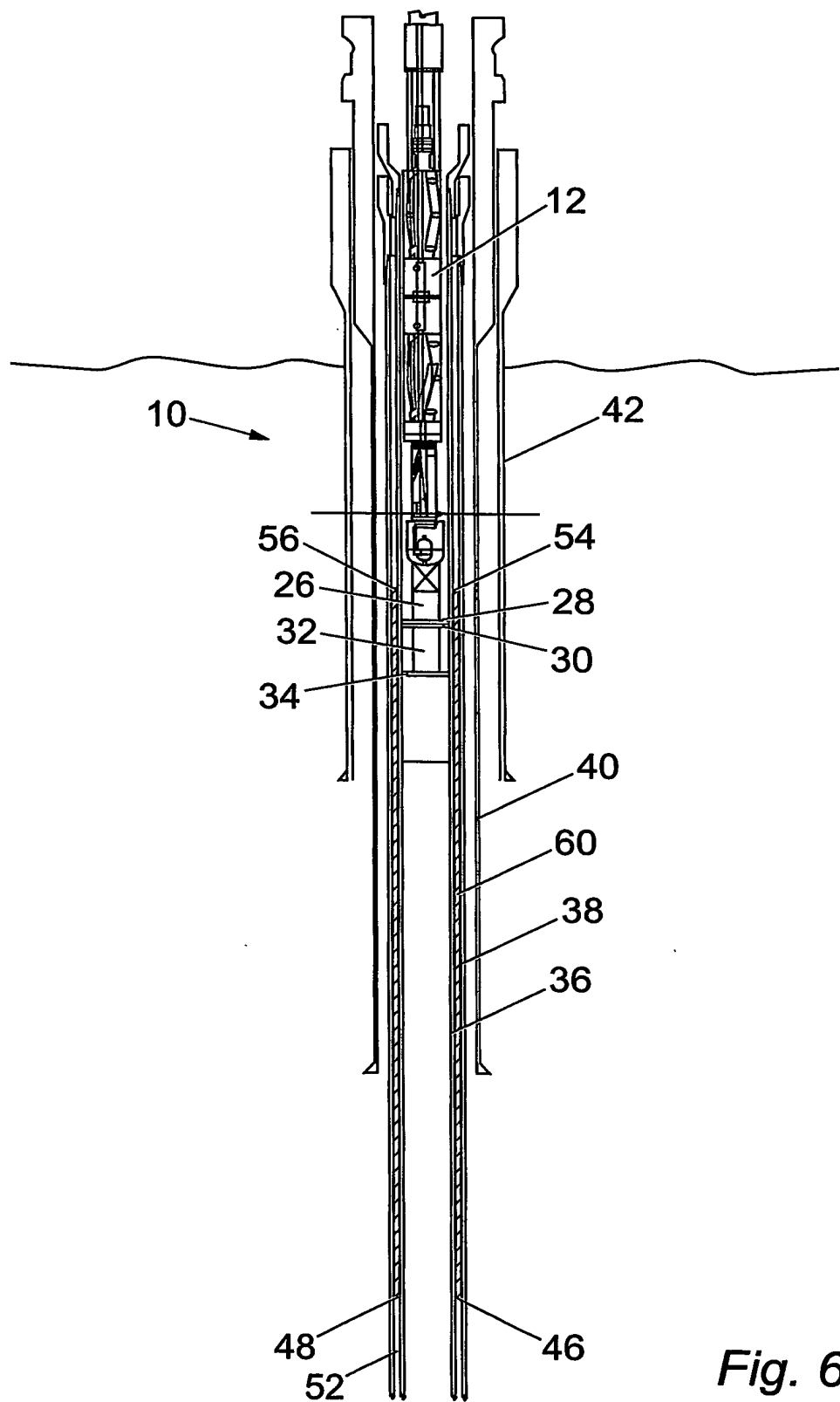


Fig. 6

7 / 23

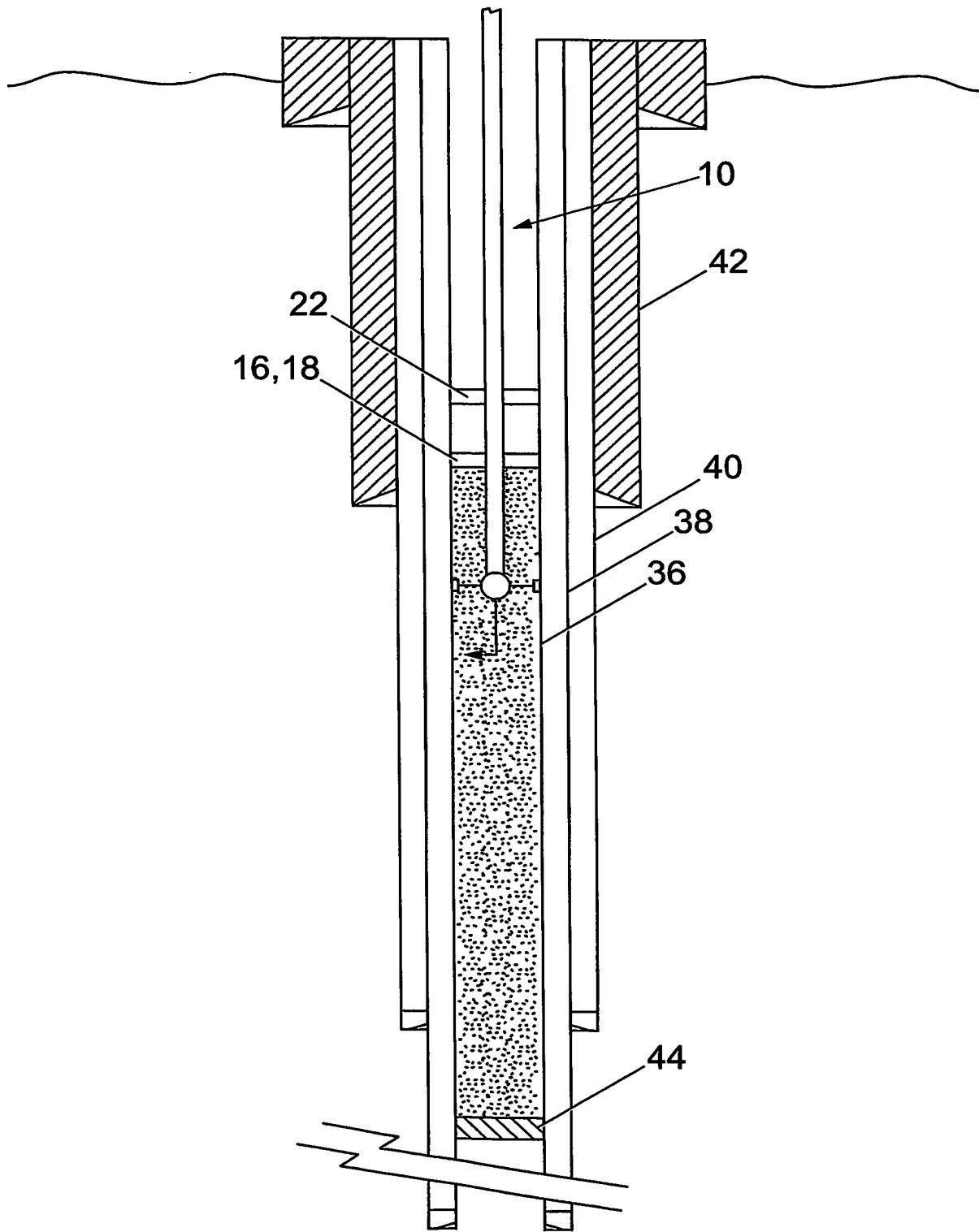


Fig. 7

8 / 23

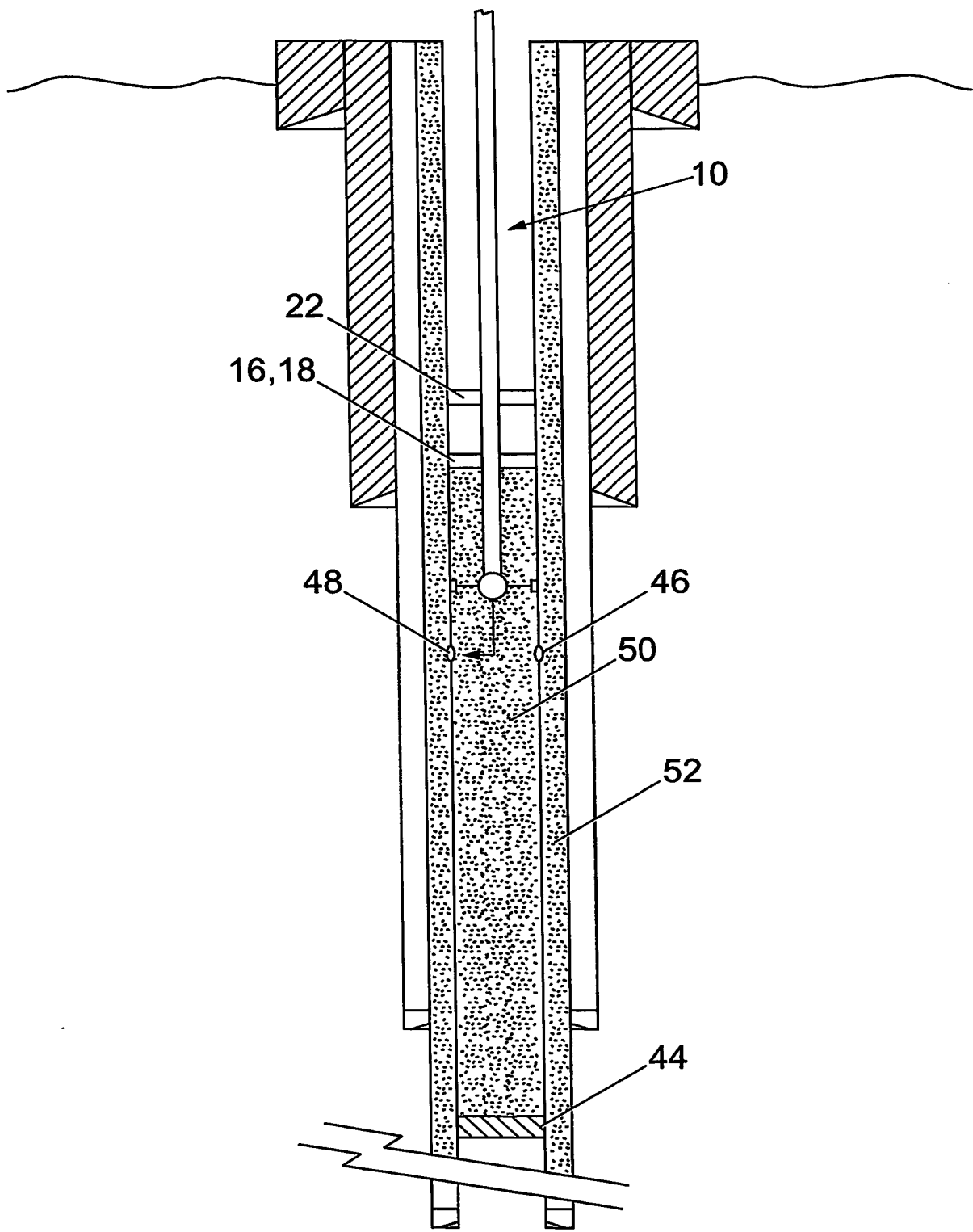


Fig. 8

9 / 23

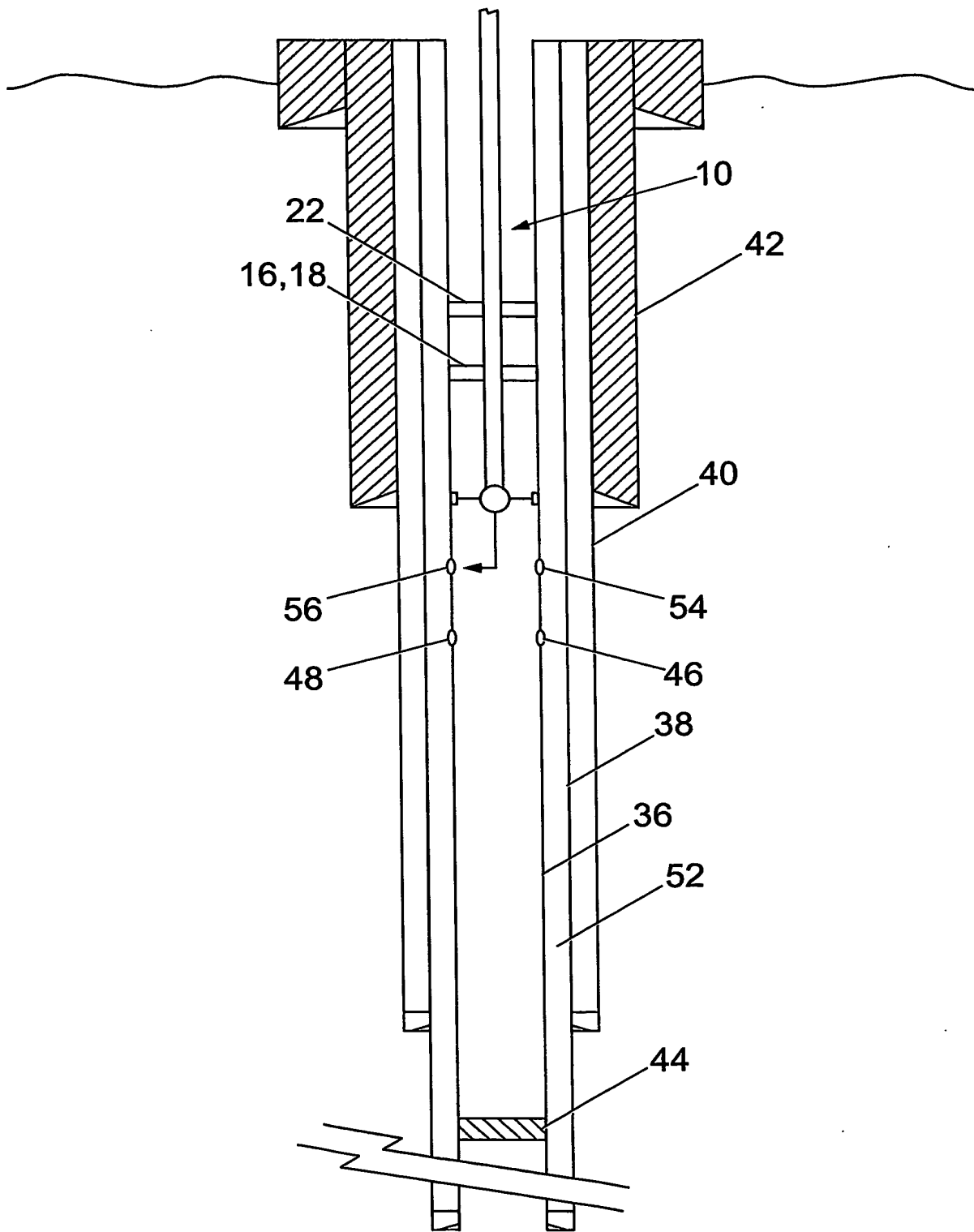


Fig. 9

10 / 23

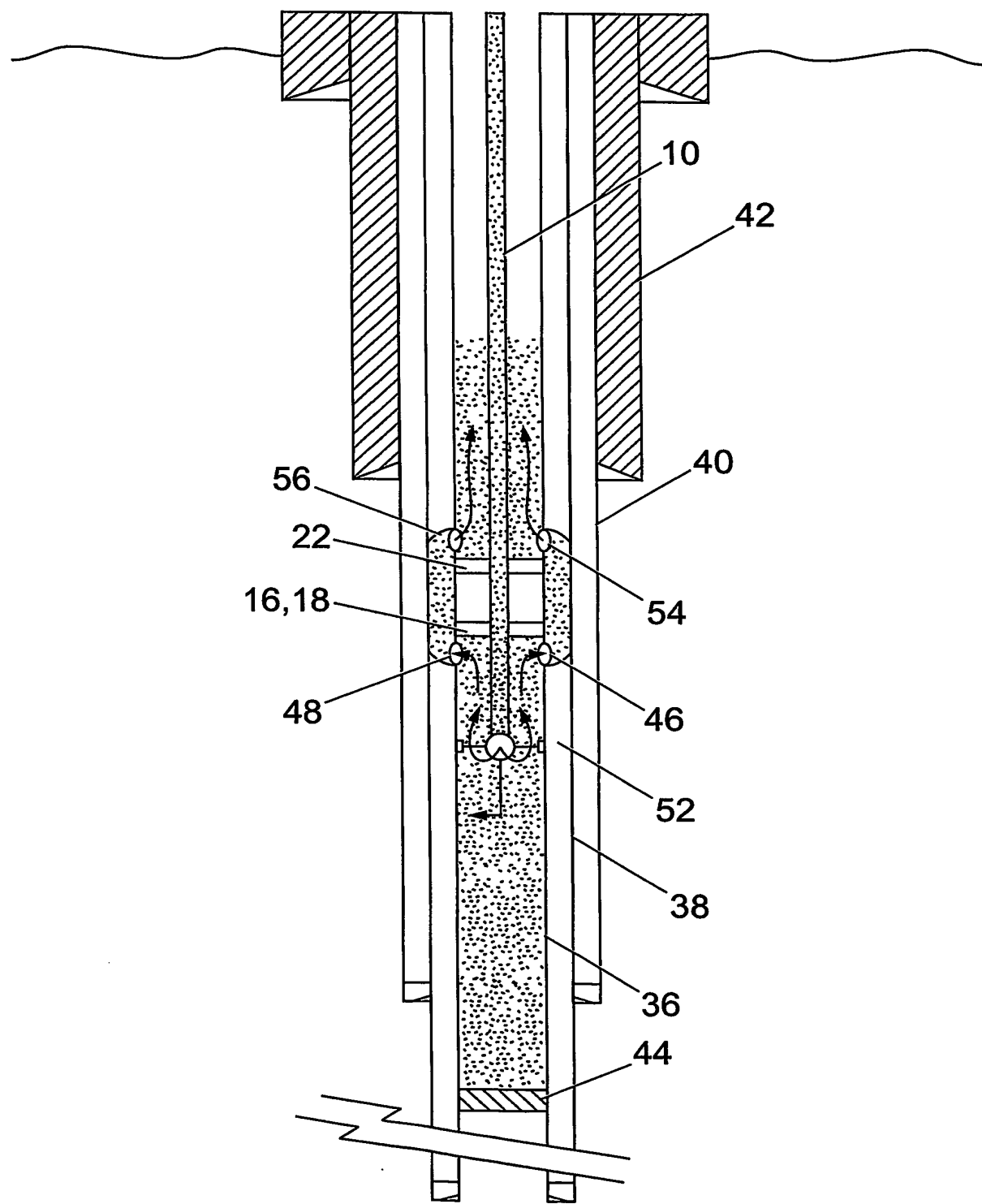


Fig. 10

11 / 23

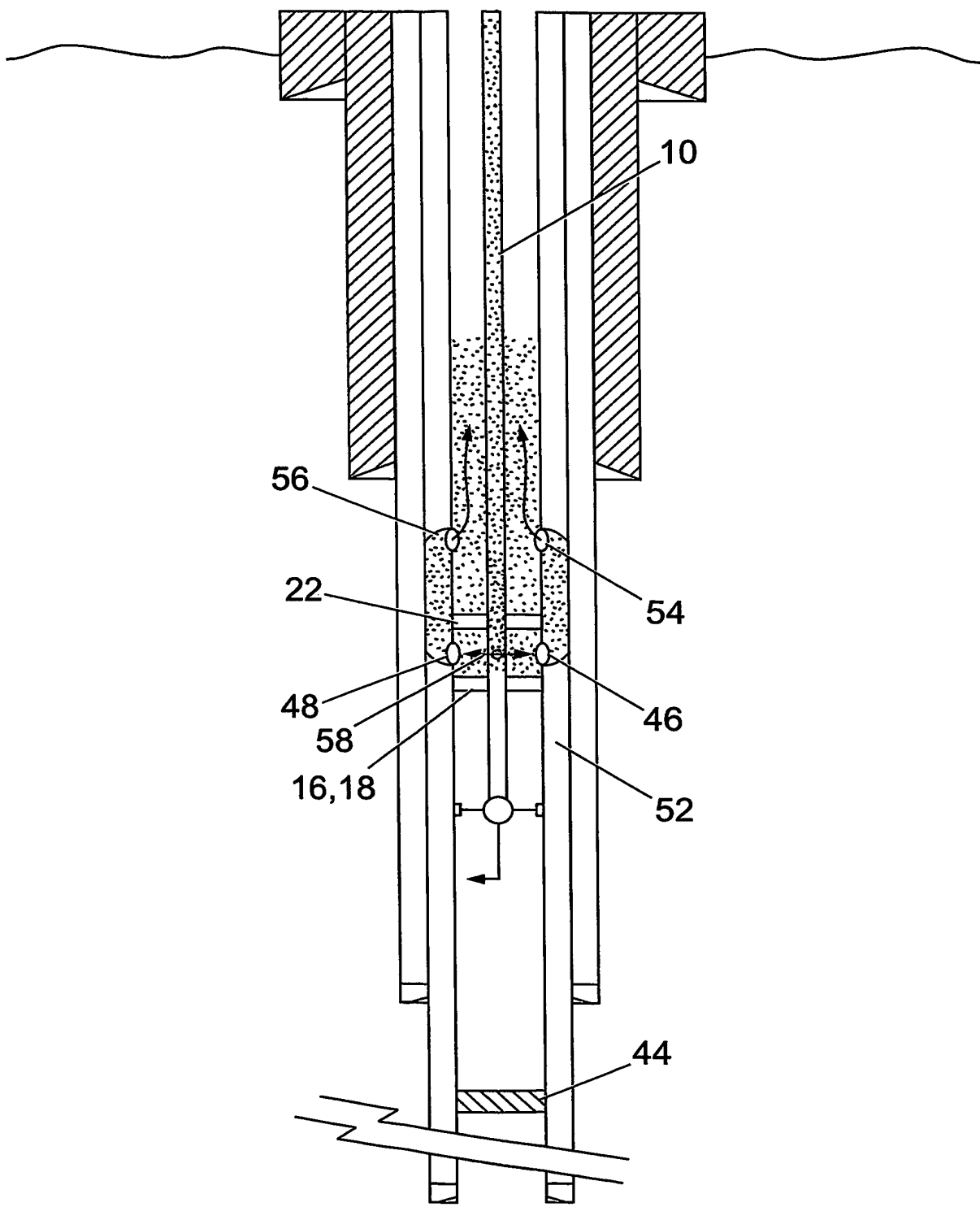


Fig. 11

12 / 23

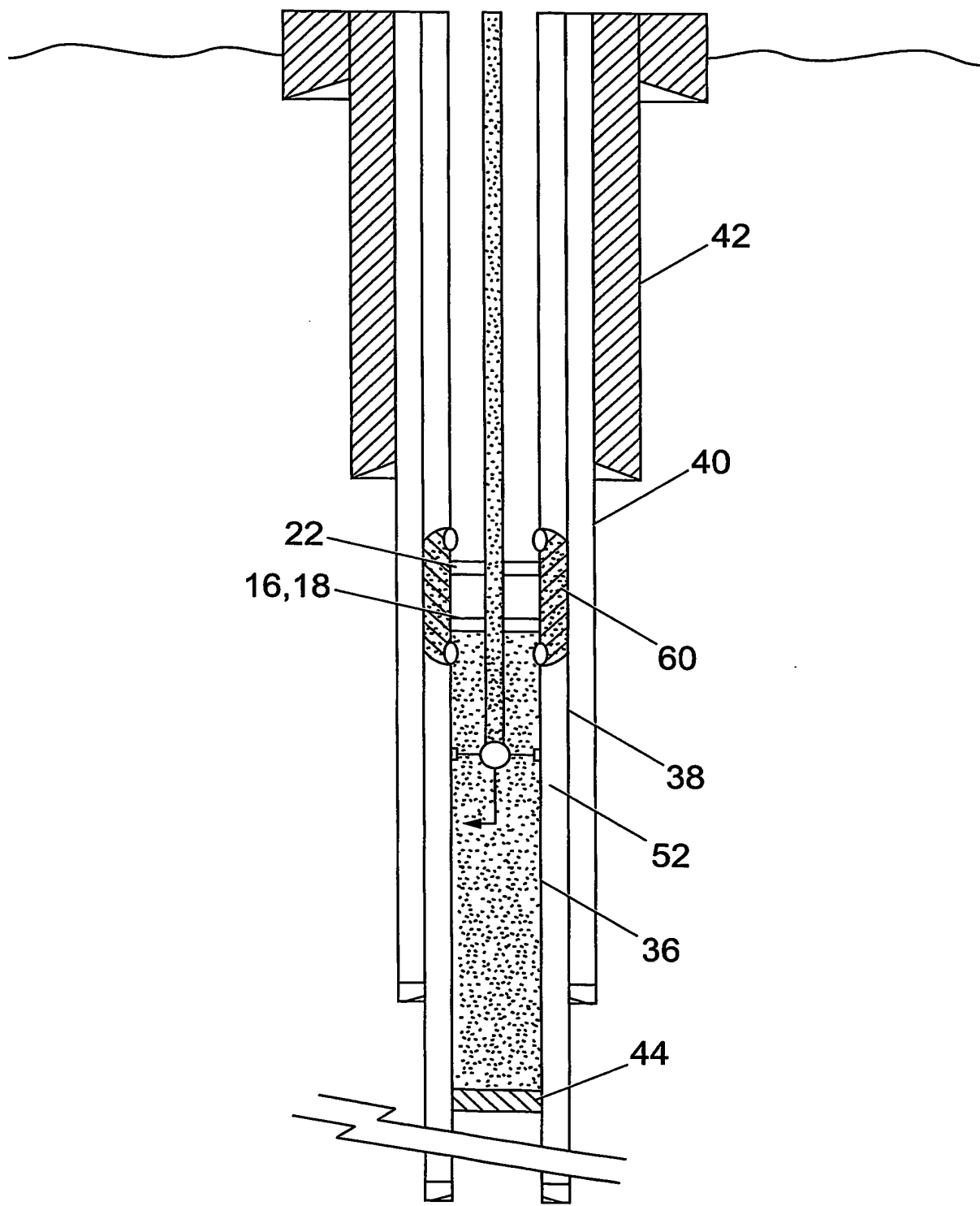


Fig. 12

13 / 23

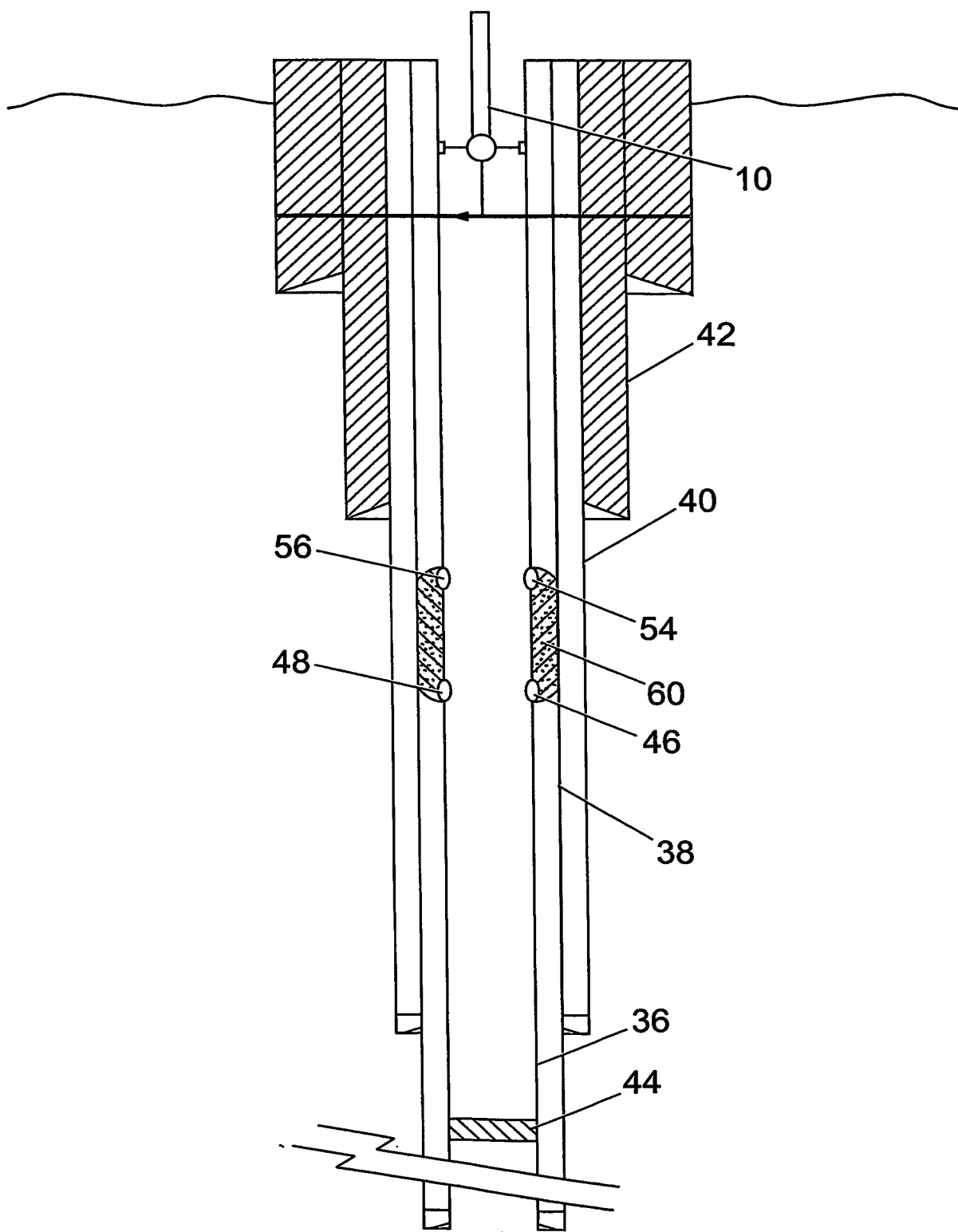


Fig. 13

14 / 23

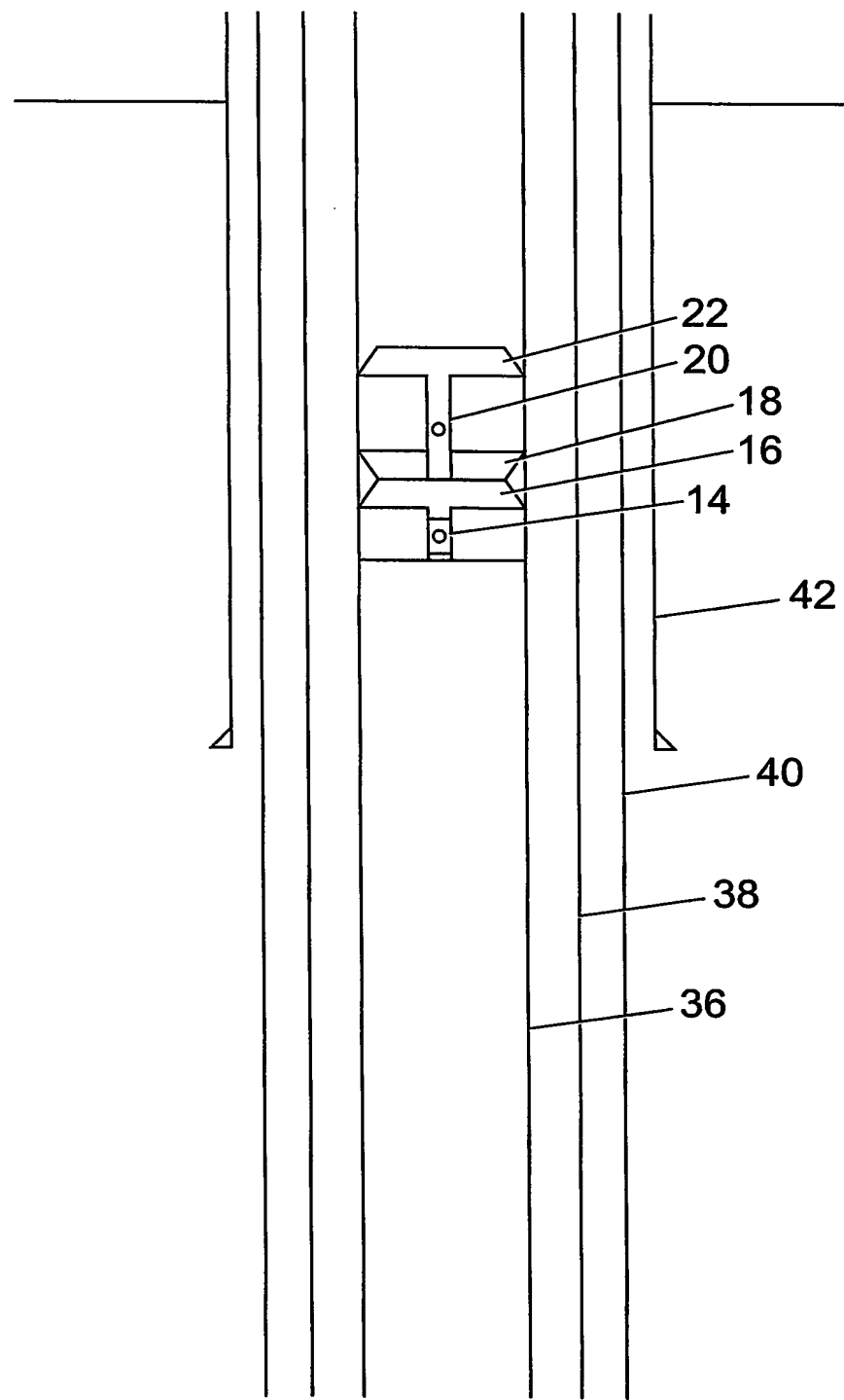


Fig. 14

15 / 23

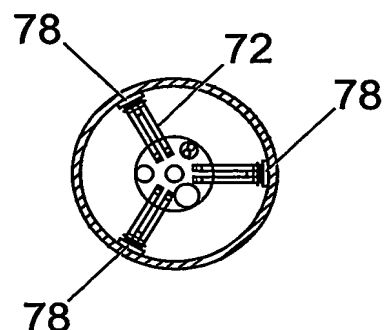


Fig. 15a

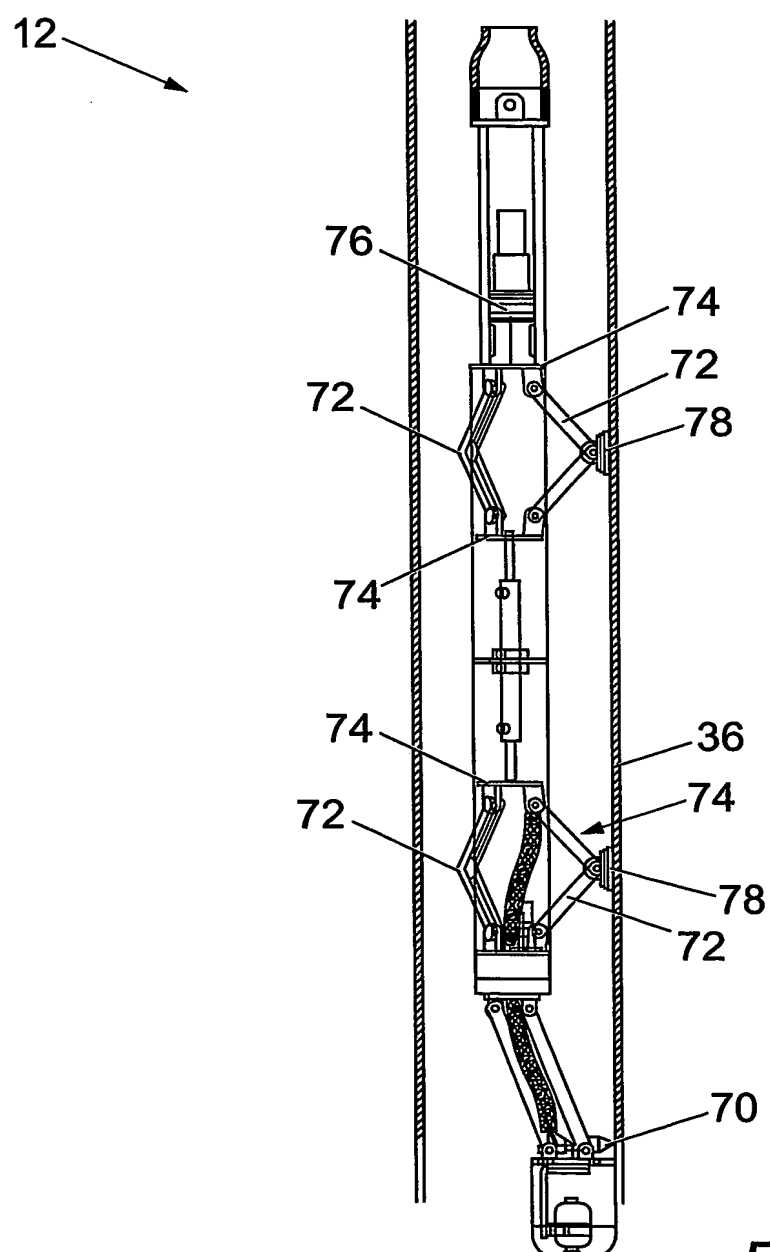


Fig. 15b

16 / 23

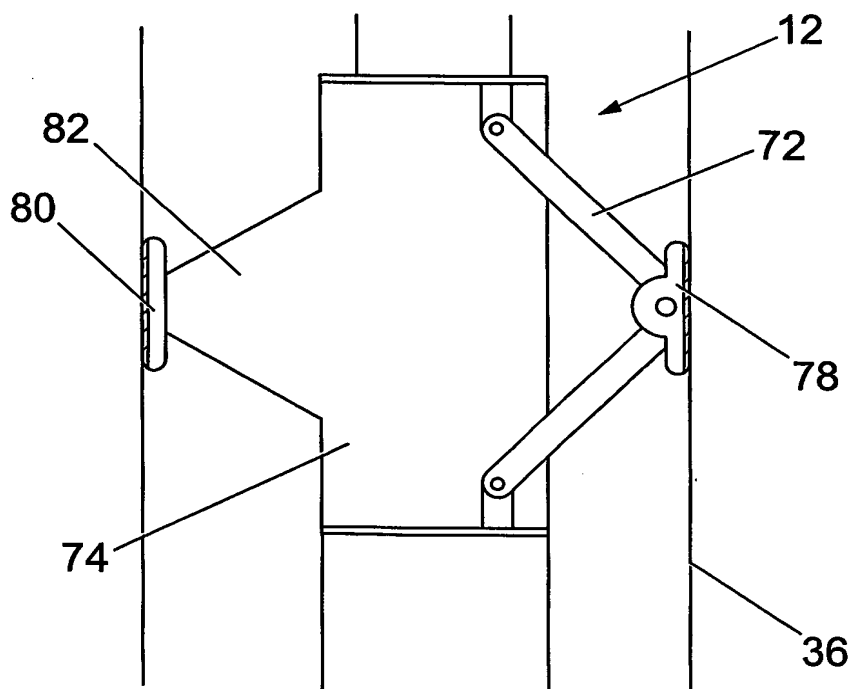


Fig. 16

17 / 23

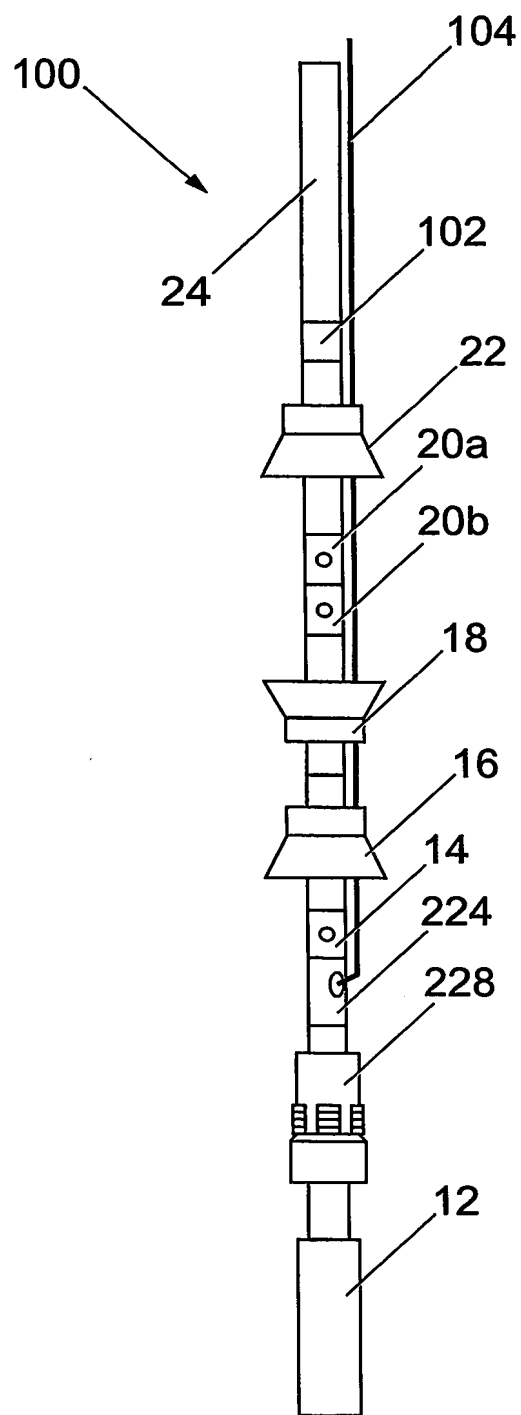


Fig. 17

18 / 23

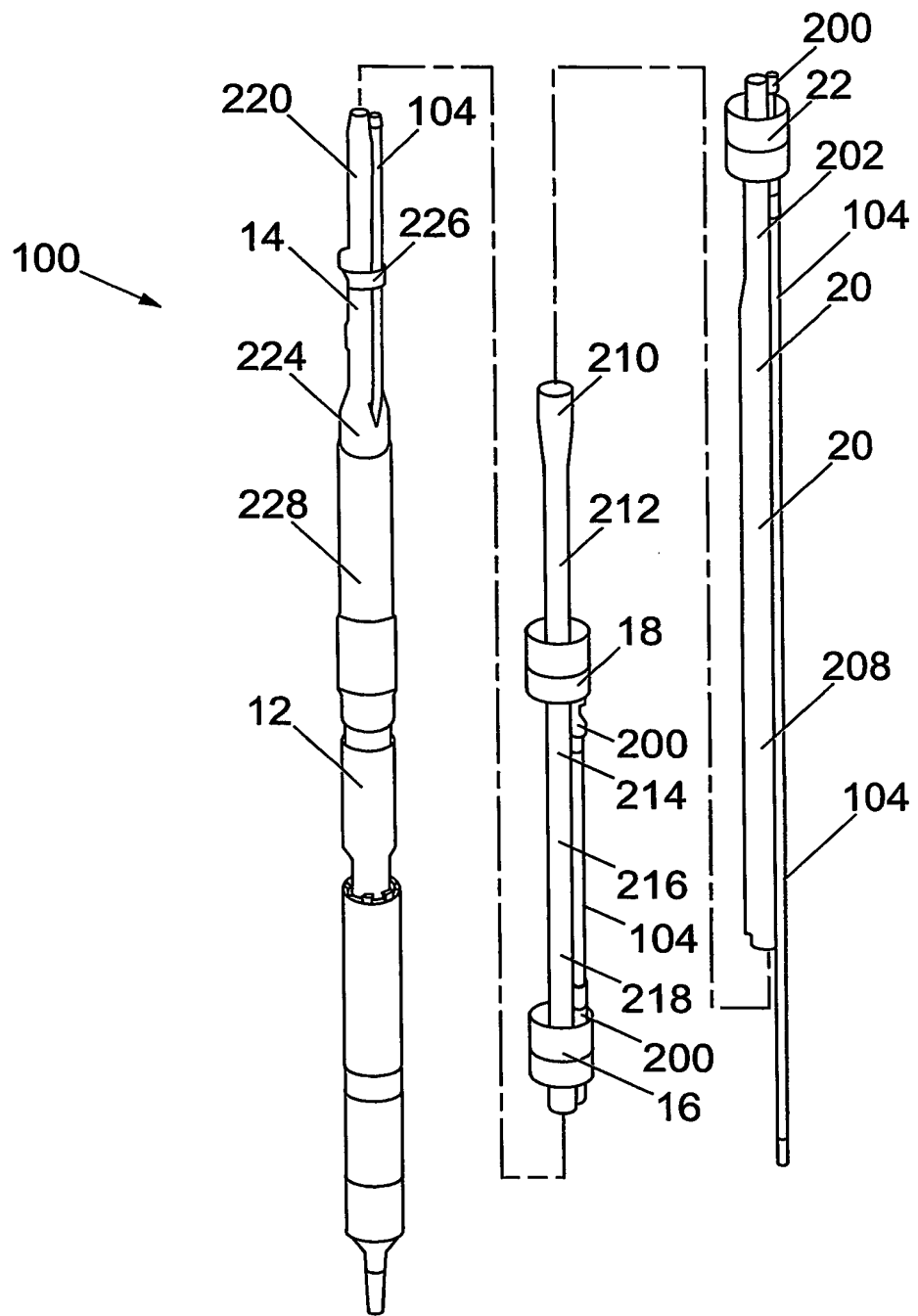


Fig. 18

19 / 23

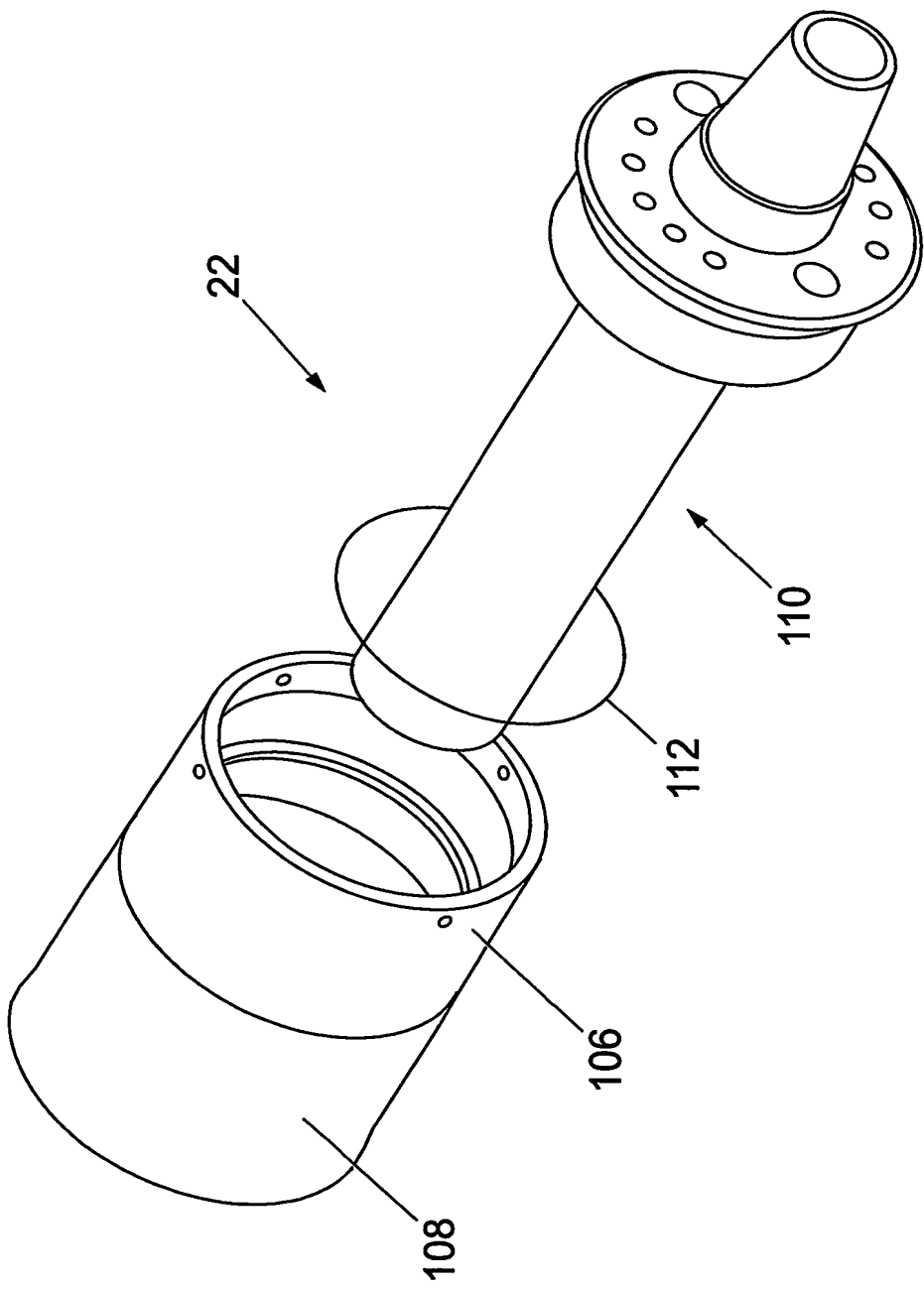


Fig. 19

20 / 23

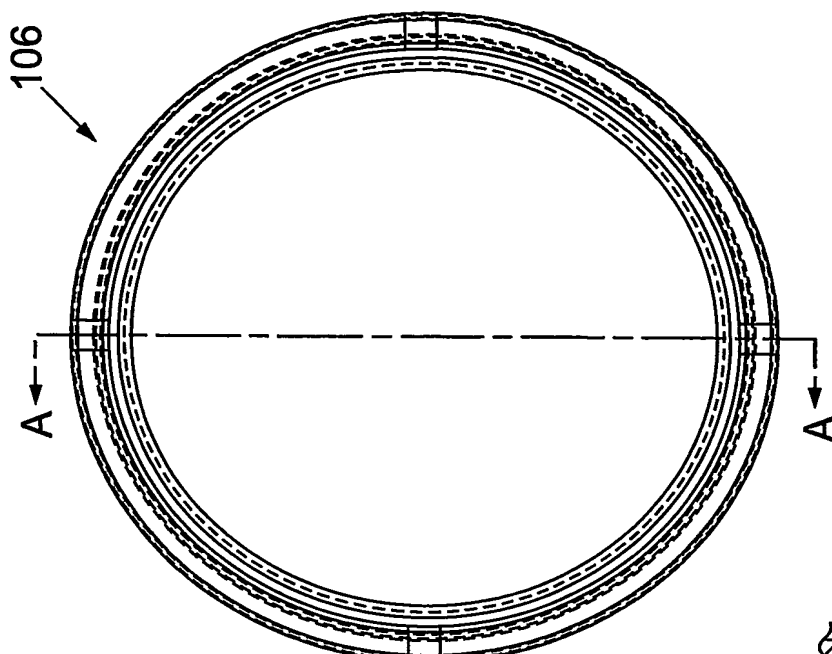


Fig. 20

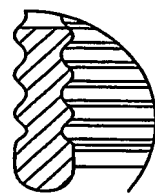


Fig. 22

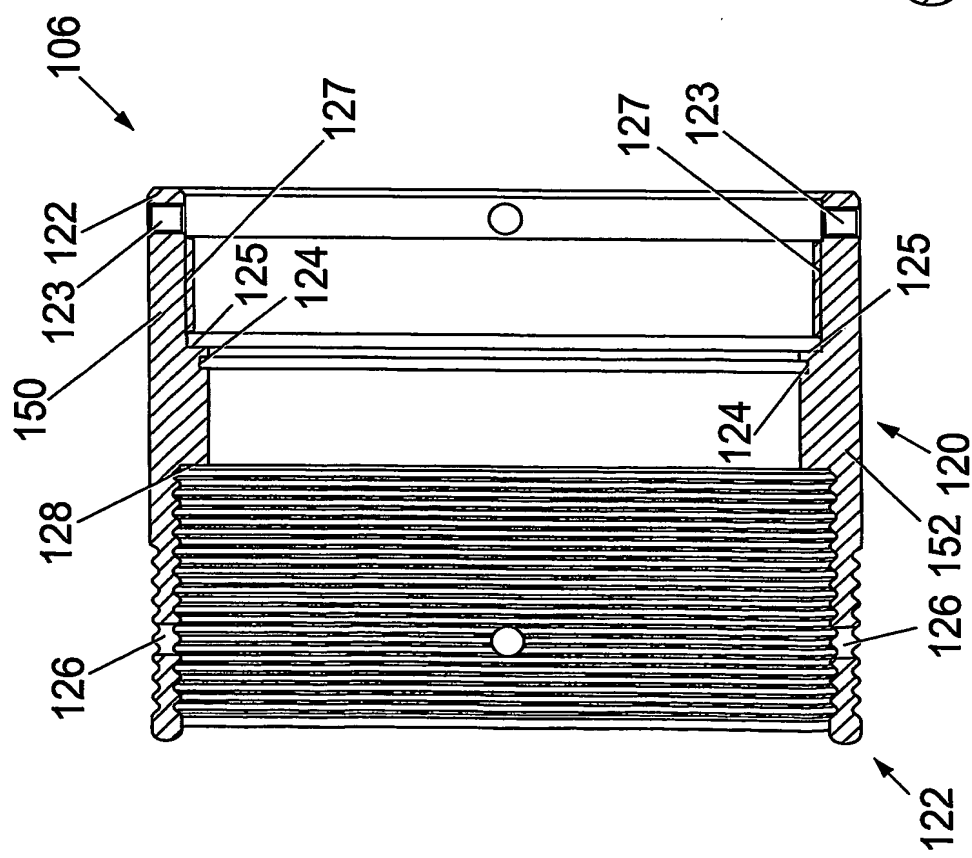


Fig. 21

21 / 23

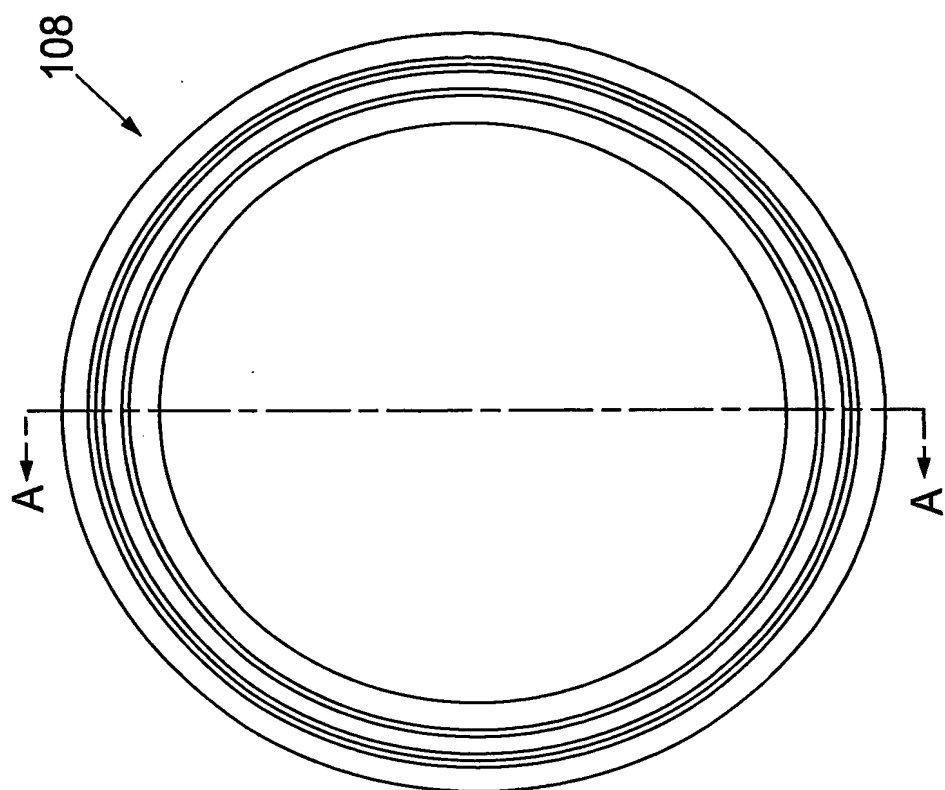


Fig. 23

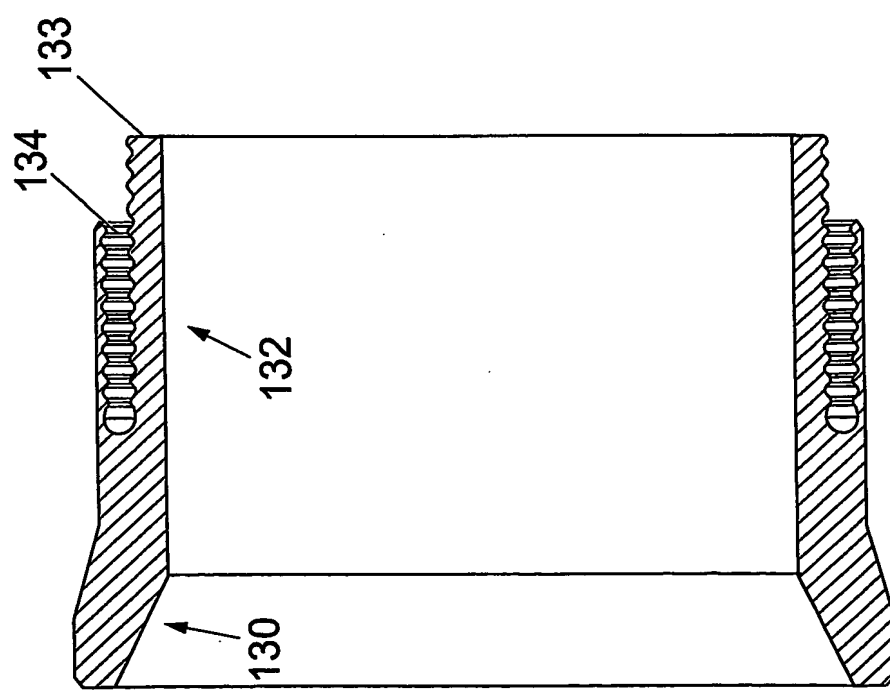


Fig. 24

22 / 23

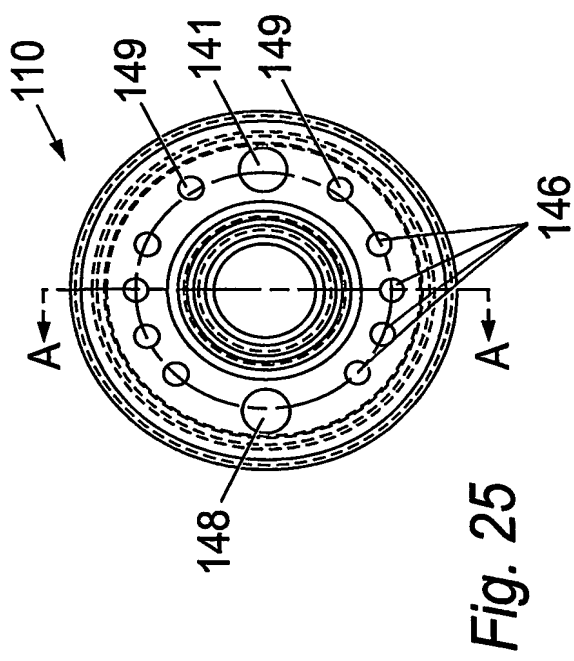


Fig. 25

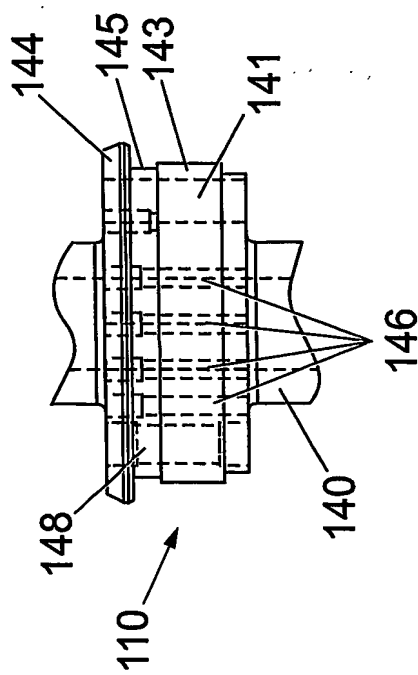


Fig. 28

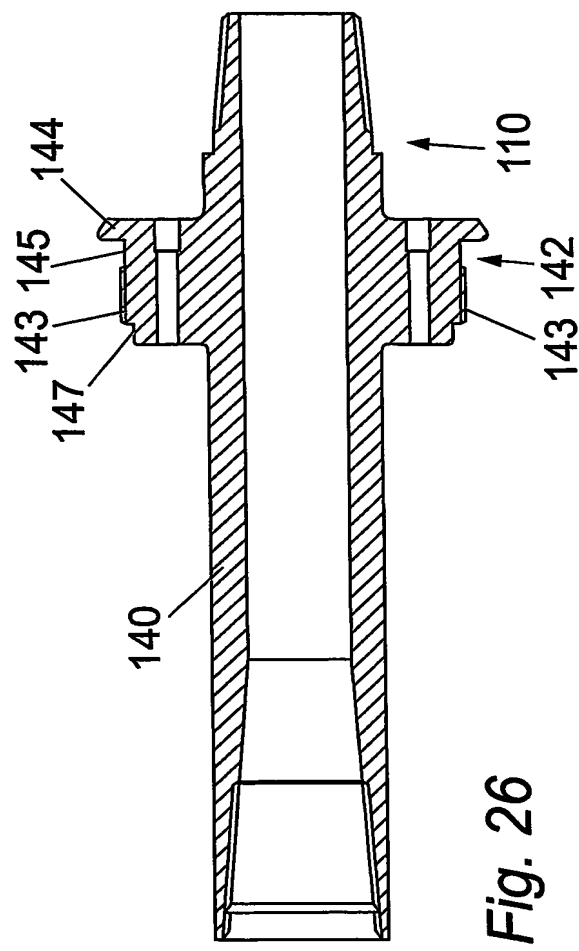


Fig. 26

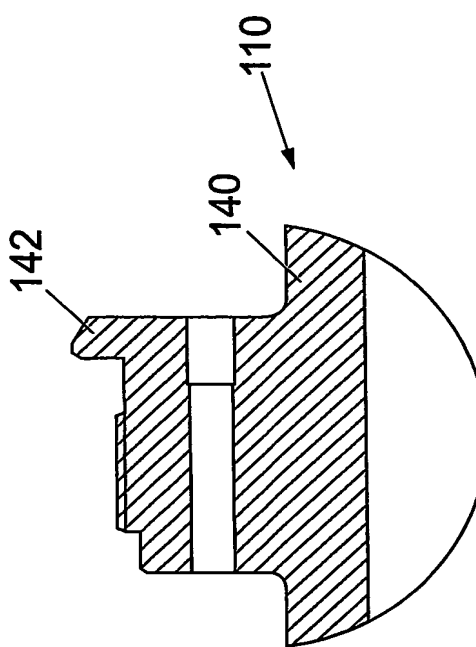


Fig. 27

23 / 23

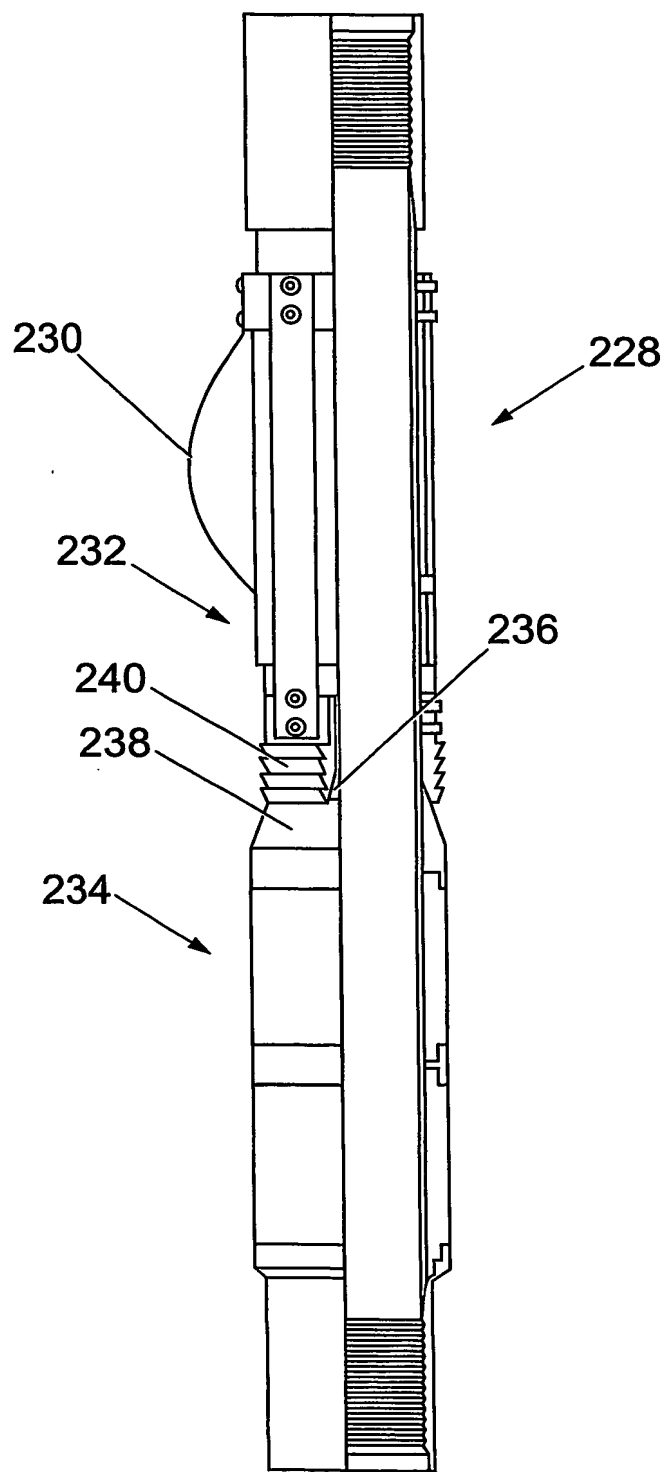


Fig. 29